

1. Гинзбург В. Л. Распространение электромагнитных волн в плазме. — М.: Наука, 1967. — 683 с.
2. Керблей Т. С., Ковалевская Е. М. О траекториях коротких радиоволн в ионосфере. — М., Наука, 1974. — 160 с.
3. Альперт Я. Л. Распространение электромагнитных волн и ионосфера. — М.: Наука, 1972—563 с.

Казанский государственный университет

Поступила в редакцию  
5 марта 1987 г.

УДК 621.373.12.532

## О РАЗВИТИИ ТУРБУЛЕНТНОСТИ ПО ЛАНДАУ В ДИСКРЕТНОЙ МОДЕЛИ ПОТОКОВЫХ СИСТЕМ

Г. В. Осипов

Сравнительно недавно появились работы, посвященные изучению природы и механизмов пространственного развития турбулентности в потоковых диссипативных системах [1–3]. Первые результаты по этому вопросу получены в [1], где численно обнаружены пространственные бифуркации развития хаоса в цепочке однонаправленно связанных генераторов. Периодический в начале цепочки режим с ростом номера генератора сменялся квазипериодическим, который, в свою очередь, переходил в режим хаотических колебаний. В [2] этому механизму пространственного развития турбулентности дано аналитическое доказательство. В [2, 3] приведены примеры и построена модельная теория пространственного развития турбулентности на основе универсального закона Фейгенбаума. Таким образом, оказалось, что два из нескольких известных сценариев возникновения стохастичности при изменении управляющего параметра в сосредоточенных системах [6, 7] реализуются и при пространственном развитии турбулентности (здесь роль управляющего параметра играет пространственная координата вдоль цепочки).

В настоящей работе приводится пример, который демонстрирует реализацию в пространстве сценария развития турбулентности по Ландау—Хопфу, — вдоль цепочки структур происходит постепенное усложнение движения за счет появления новых несоизмеримых с предыдущими частот и нарастание таким образом размерности квазипериодического движения.

Исходной моделью служит цепочка однонаправленно связанных ротаторов с сильной диссипацией, описываемая системой обыкновенных дифференциальных уравнений маятникового типа с учетом связи:

$$\ddot{\varphi}_j + \lambda \dot{\varphi}_j = \gamma - \sin \varphi_j - \delta \sin \varphi_{j-1}, \quad j = \overline{1, N}, \quad \varphi_0(t) \equiv 0, \quad (1)$$

$\varphi_j$  — фазовая переменная,  $\gamma, \lambda$  — параметры точечной системы,  $\delta$  — параметр связи.

Подчеркнем, что изучение системы (1) представляет самостоятельный интерес для теории систем фазовой синхронизации [8], связанных джозефсоновских контактов [9] и др.

При больших  $\lambda$  (что аналогично большой вязкости) движения в системе (1) разделяются на быстрые и медленные, причем произвольные медленные движения устойчивы и описываются системой

$$\dot{\varphi}_j = \gamma - \sin \varphi_j - \delta \sin \varphi_{j-1}, \quad j = \overline{1, N}. \quad (2)$$

Ввиду периодичности  $\varphi_j$  ( $\varphi_j \in (0, 2\pi]$ ) фазовое пространство системы (2) и  $N$ -мерный тор.

Отметим, что возникновение хаоса в цепочечных структурах, рассматривавшихся в [1–3], связано с тем, что в испытывающем воздействии со стороны соседа точечном элементе, имеющем при этом четырехмерное фазовое пространство, существуют стохастические движения. Специфика цепочечной структуры, динамика которой подчиняется системе (2), состоит в том, что точечные элементы, описываемые (2) при фиксированных  $j$  ( $j \neq 1$ ), имеют двумерное фазовое пространство, в котором невозможно существование стохастических движений. Учитывая этот факт и то, что в силу однонаправленности связи добавление новой координаты  $j$  в систему (2) не ведет к изменению аттракторов в фазовом пространстве  $(j-1)$ -мерной системы, заключаем, что хаос в рассматриваемой цепочечной структуре не возникает. При небольших  $\lambda$  хаос в системе (1) наблюдался при численном эксперименте.

Для того чтобы понять, что в системе (2) представляют собой установившиеся движения и как они изменяются с увеличением номера  $j$ , выясним, какие вообще движения возможны в системе (2) фиксированной размерности при изменении параметров  $\gamma$  или  $\delta$ .

Пусть значения  $\gamma$  и  $\delta$  таковы, что  $\gamma_j \equiv |\gamma - \delta \sin \varphi_{j-1}| < 1$ ,  $j = \overline{1, N}$ . Тогда во всех  $N$  элементах цепочки наступает стационарный режим, которому в  $N$ -мерном фазовом пространстве соответствует единственное устойчивое состояние равновесия  $O_1(\varphi_j^*)$  ( $\varphi_j^* : \sin \varphi_j^* = \gamma_j$ ,  $\varphi_j^* \in [-\pi/2, \pi/2]$  для всех  $j = \overline{1, N}$ ). Кроме  $O_1$  существует  $2^N - 2$  седловых состояний равновесия и одно неустойчивое. При любых начальных условиях  $\varphi_j^0$  ротаторы будут находиться в состоянии покоя. При увеличении  $\gamma$ , а именно при  $\gamma = \gamma^1$  величина  $\gamma_N$  становится больше единицы, а остальные  $\gamma_j < 1$ ,  $j = \overline{1, N-1}$ . При этом по координате  $\varphi_N$  происходит слияние и исчезновение состояний равновесия и рождение  $2^{N-1}$  периодических движений, одно из которых устойчиво, одно неустойчиво и остальные седлового типа. В фазовом пространстве им соответствуют прямые линии, проходящие параллельно оси  $\varphi_N$  через точки, имеющие координаты состояний равновесия  $(N-1)$ -мерной системы. Аттрактор здесь — предельный цикл. Происходит вращение последнего в цепочке ротатора, остальные покоятся. При  $\gamma = \gamma^2 > \gamma^1$  величина  $\gamma_{N-1}$  становится больше единицы, остальные  $\gamma_j < 1$ ,  $j = \overline{1, N-2}$ . При этом по координате  $\varphi_{N-1}$  происходит слияние и исчезновение периодических движений и образование  $2^{N-2}$  квазипериодических движений по  $\varphi_{N-1}$ ,  $\varphi_N$ . В фазовом пространстве аттрактор — двумерное квазипериодическое движение.

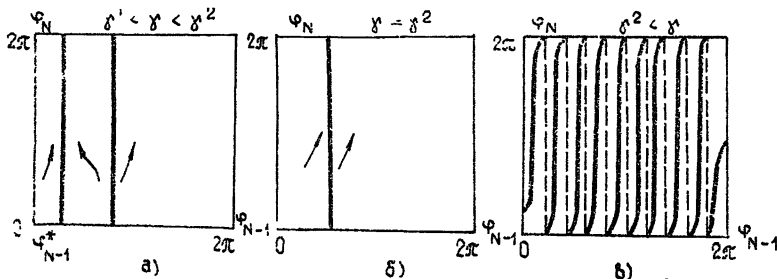


Рис. 1. а) Устойчивое и неустойчивое периодические движения. б) Полуустойчивое периодическое движение. в) Двумерное квазипериодическое движение — незамкнутая намотка на двумерном торе (показаны несколько первых витков).

На рис. 1 показан путь образования квазипериодического движения в плоскости  $(\varphi_{N-1}, \varphi_N)$  при постоянных  $\varphi_j^*$ ,  $j = \overline{1, N-2}$ . При  $\gamma = \gamma^3$ , т. е. когда  $\gamma_{N-2}$  становится больше единицы, сливаются и исчезают двумерные квазипериодические движения и образуется  $2^{N-3}$  квазипериодических движений размерности три по координатам  $\varphi_{N-2}$ ,  $\varphi_{N-1}$ ,  $\varphi_N$ . При  $\gamma = \gamma^K$ ,  $K=4, N$  происходит рождение  $2^{N-K}$  квазипериодических движений размерности  $K$ . Таким образом, существует конечное множество значений  $K$ , при переходе через которые в сторону увеличения  $\gamma$  размерность аттрактора системы (2) увеличивается на единицу. При  $\gamma > \gamma^N$  в  $N$ -мерном фазовом пространстве аттрактором служит незамкнутая намотка на  $N$ -мерном торе. В реальной системе (цепочке связанных ротаторов) каждый из ротаторов вращается с отличной от других, рационально несоизмеримой с остальными частотой. Показанный путь развития аттракторов в системе (2) при фиксированном числе элементов при изменении параметра  $\gamma$  не является единственным.

Из приведенного анализа можно предложить сценарий последовательного превращения аттракторов в системе (2) с ростом номера  $j$ : добавление нового элемента в системе (2) приводит к возникновению новой, рационально несоизмеримой с предыдущими частоты периодического изменения координаты  $\varphi_j$  — происходит нарастание размерности квазипериодического движения. Если бы  $N \rightarrow \infty$ , то образом установившегося в такой полубезграничной системе режима явилось бы бесконечномерное квазипериодическое движение. В силу сильной диссипации в цепочке не происходит полной синхронизации колебаний — исчезновения квазипериодического движения и установления периодического движения. Математически этот факт можно объяснить тем, что если в двумерной системе существует квазипериодическое движение, то вследствие того, что с ростом  $j$  аттрактор в  $(j-1)$ -мерной системе не меняется, квазипериодичность по первым двум координатам сохраняется при любых  $j$ .

Численное моделирование системы (2) при  $\gamma=2$ ,  $\delta=5$ ,  $N=5, 10, 20$  показало существование в фазовом пространстве квазипериодических движений размерности  $N$ . Определение размерности проводилось с помощью метода Грассбергера—Прокачиа [10]. Для системы (2) при  $N=20$  для получения величины корреляционной размерности с точностью  $\pm 0,2$  потребовалась временная реализация переменной  $\varphi_{20}(t)$  длиной 200000 точек. Усложнение движений в цепочке, описываемой (2), с ростом числа взаимодействующих ротаторов четко прослеживается на рис. 2, где представлены спектры аттракторов в элементах цепочки для возрастающих значений  $j$ . Как видно из рисунка, аттракторы в элементах, начиная с третьего, имеют практически сплошной спектр, что характерно для «геометрических странных аттракторов» [11]. Вместе

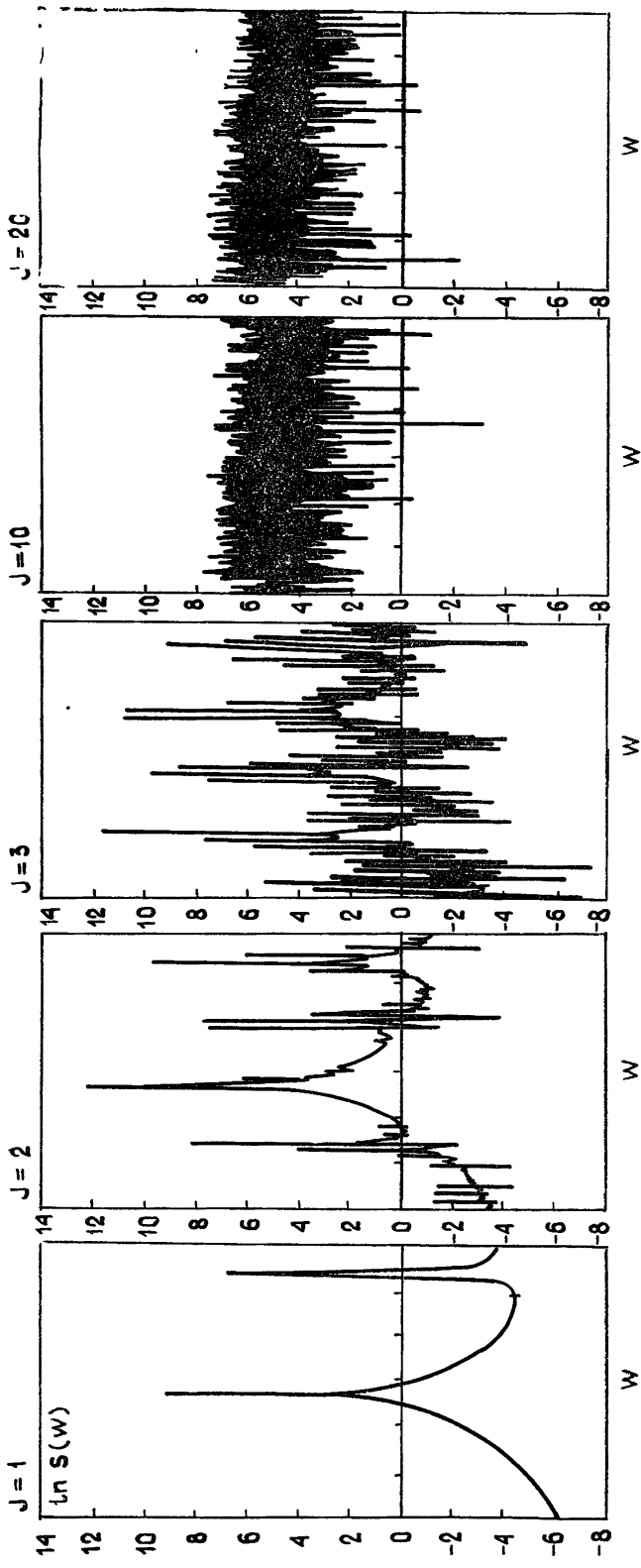


Рис. 2.

с тем при  $\gamma=2$ ,  $\delta=7$  размерность квазипериодического движения была меньше размерности фазового пространства. Наличие аналогичной ситуации можно показать аналитически при  $\gamma \gg 1$ . В этом случае движения в первом элементе приближенно описываются уравнением  $\dot{\varphi}_1 = \gamma$ , т.е.  $\varphi_1 = \gamma t$ . Тогда уравнение для второго элемента имеет вид

$$\dot{\varphi}_2 = \gamma - \sin \varphi_2 - \delta \sin \gamma t.$$

Как известно [9], у этого уравнения существуют как рациональные, так и иррациональные числа вращения. В первом случае имеет место периодическое движение — аттрактор имеет размерность, меньшую, чем размерность фазового пространства.

В заключение заметим, что нетипичный для динамических систем аттрактор — многомерное (больше трех) квазипериодическое движение — существует в системе (2), по-видимому, в силу ее специфики — сильной диссипативности и периодичности по всем фазовым переменным.

Автор выражает благодарность М. И. Рабиновичу и В. Д. Шалфееву за постановку задачи и внимание к работе.

#### ЛИТЕРАТУРА

1. Гапонов-Грехов А. В., Рабинович М. И., Старобинец И. М. — Письма в ЖЭТФ, 1984, 39, вып. 12, с. 561.
2. Арансон И. С., Гапонов-Грехов А. В., Рабинович М. И., Старобинец И. М. — ЖЭТФ, 1986, 90, вып. 5, с. 1707.
3. Анищенко В. С., Арансон И. С., Постнов Д. Э., Рабинович М. И. — ДАН СССР, 1986, 286, № 5, с. 1120.
4. Кузнецов С. П., Пиковский А. С. — Изв вузов — Радиофизика, 1985, 28, № 3, с. 308.
5. Афраймович В. С., Рабинович М. И., Сбитнев В. И. — Письма в ЖТФ, 1985, 11, вып. 6, с. 338.
6. Лихтенберг А., Либерман М. Регулярная и стохастическая динамика. / Пер. с англ. — М.: Мир, 1984. — 528 с.
7. Рабинович М. И., Трубецков Д. И. Введение в теорию колебаний и волн. — М.: Наука, 1985. — 432 с.
8. Системы фазовой синхронизации / Под ред. В. В. Шахгильдяна и Л. И. Белюстиной. — М.: Радио и связь, 1982. — 288 с.
9. Лихарев К. К., Ульрих Б. Г. Системы с джоузефсоновскими контактами. — М.: Гос. ун-т, 1978. — 446 с.
10. Grassberger P., Procaccia I. — Physica D, 1983, 9, p. 189.
11. Vonderson A., Ott E., Antonsen T. M. — Phys. Rev. Lett., 1985, 55, № 20; p. 2103.

Научный совет АН СССР  
по комплексной проблеме  
«Кибернетика»

Поступила в редакцию  
4 января 1987 г.

УДК 530.1

### КВАЗИОДНОРОДНЫЕ СТОХАСТИЧЕСКИЕ ДВИЖЕНИЯ И ИХ РАЗРУШЕНИЕ В СИСТЕМЕ СВЯЗАННЫХ НЕЛИНЕЙНЫХ ОСЦИЛЛЯТОРОВ

*В. В. Астахов, Б. П. Безручко, В. И. Пономаренко, Е. П. Селезнев*

1. Диссипативно связанные нелинейные динамические системы со странным аттрактором (СА) могут демонстрировать в зависимости от степени их идентичности полностью или почти одинаковые (однородные или квазиоднородные) стохастические движения [1–3]. В настоящем сообщении приводятся результаты экспериментального исследования колебательных режимов системы двух связанных нелинейных осцилляторов. Показана возможность существования в ней стохастических колебаний различной степени однородности. Изучена структура разбиения плоскости управляющих параметров на области характерных движений и переходы между ними, рассмотрено влияние неидентичности подсистем.

2. Исследуемая система представляла собой два радиотехнических колебательных контура с нелинейной емкостью и проводимостью, характерными для  $p$ – $n$ -перехода [4]. Подсистемы возбуждались синфазно через развязывающие усилители гармоническим сигналом от общего внешнего генератора. Взаимная диссипативная связь осуществлялась с помощью резистора с регулируемым сопротивлением  $R$ , включенным между идентичными точками контуров. Подробная информация о динамике одиночного контура, подобного контурам, исследуемым в экспериментальной системе, имеется